

# SNG 연료의 화염구조에 관한 연구

## Part I : 화염후류간 상호작용

심근선\* · 이기만\*\*†

### A Study on Flame Structure of SNG Fuel

#### Part I : Interaction between Flames Downstream

Keunseon Sim\*, Keeman Lee\*\*†

#### ABSTRACT

A combined experimental and numerical study has been conducted to investigate the downstream interaction between simulated SNG-air premixed flames in fuel composition of 91%  $\text{CH}_4$  + 6%  $\text{C}_3\text{H}_8$  + 3%  $\text{H}_2$ . In this study, the effects of fuel molar concentration(lean-rich) and strain rate( $a_g$ ) were major parameters. A main focus is to investigate flames behavior and chemical interaction at flames downstream. The numerical results were calculated by OPPDIF application. The reaction mechanism adopted was USC-II model including C3 reaction.

**Key Words** : Synthetic Natural Gas(SNG), Downstream interaction, Strain rate, Mole fraction, Flame structure

합성천연가스(Synthetic Natural Gas, SNG)는 미래 LNG의 대체 연료로서  $\text{CH}_4$ 를 다량 함유한다는 관점에서는 기존의 LNG 연료와 동일하나 같이 함유된  $\text{C}_3\text{H}_8$ ,  $\text{H}_2$ 에 의해 화염의 거동이나 연소 반응이 상이할 것으로 판단된다. 이에 따라 SNG연료의 상용화를 위한 기존의 발전용 가스터빈 기기 등에 관한 호환성 연구는 필수적이다.

Choi 등은[1] 이중선회 가스터빈 단일 모델 연소기에서의 화염의 안정성에 관한 연구를 통하여 SNG연료의 조성비 변화에 따른 가연한계의 확장성에 관하여 보고한바 있으며, Kim등은[2] SNG연료의 물리적 특성을 파악하고자 층류연소 속도 측정에 관한 연구를 지속적으로 수행하고 있다.

이러한 관점에서 SNG를 이용한 가스터빈연소기에서 발생하는 화염간의 상호작용에 관한 연구는 중요한 요소이지만 거의 수행되지 않고 있다. 본 연구에서는 이러한 예혼합된 화염 사이에서 발생하는 화염간의 상호작용에 관해 파악하기 위하여 모사 SNG 예혼합 화염사이에서 발생하는 후류상호작용에 대해 연구하고자 한다.

SNG 예혼합화염 사이의 후류상호작용은 Fig. 1에 나타낸 바와 같이 대향류 유동의 구조에서 연구된다. 화염의 거동은 실험을 통하여 확인하며, 내부의 화학 반응은 수치해석을 통하여 확인된다.

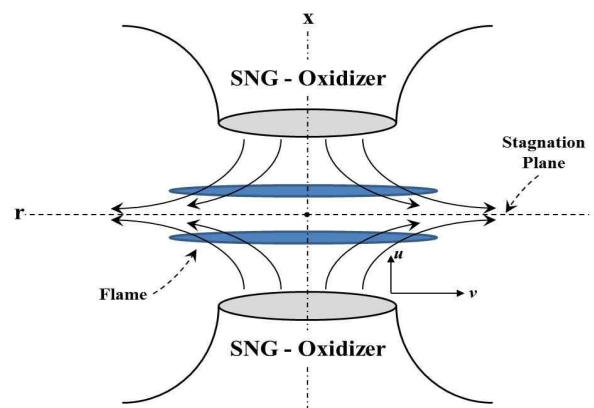


Fig. 1 Schematic diagram of counterflow burner and flow systems.

\* 순천대학교 대학원 우주항공공학과

\*\* 순천대학교 기계·우주항공공학부

† 연락처, kmlee@scnu.ac.kr

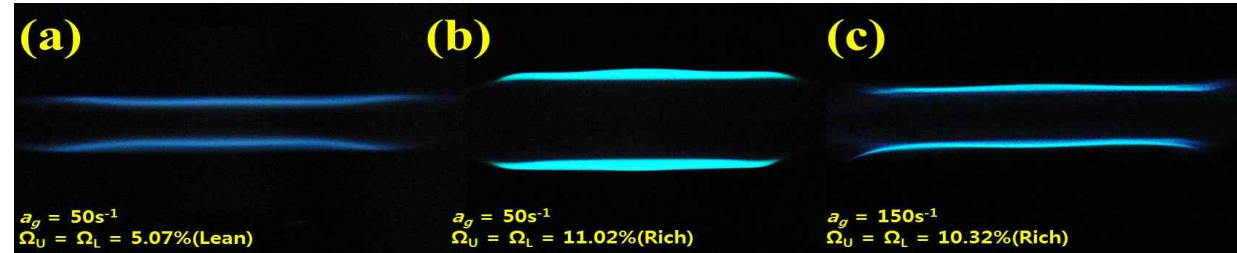
TEL : (061)750-3828 FAX : (061)750-3820

**Table 1** Experimental and Numerical conditions

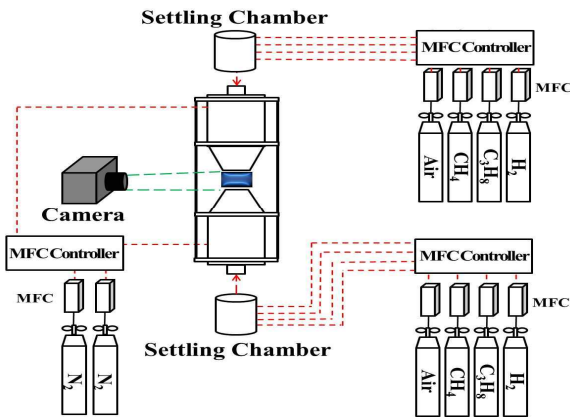
Fuel	CH <sub>4</sub> , C <sub>3</sub> H <sub>8</sub> , H <sub>2</sub> (99.999%)
Oxidizer	Air
Composition ratio	CH <sub>4</sub> : C <sub>3</sub> H <sub>8</sub> : H <sub>2</sub> 91 : 6 : 3
Diameter of nozzle(d)	14mm
Distance between nozzle(L)	15mm

변수로 사용된 기호  $\Omega$ 는 혼합물중 CH<sub>4</sub>의 몰분율(mole fraction)를 나타내며, 첨자  $U, L$ 은 각각 상부(upper)와 하부(lower) 노즐을 나타내며, 화염의 전체 신장률(global strain rate,  $a_g$ )은 상□하 노즐의 출구 속도( $V_U, V_L$ )와 버너간의 거리( $L$ )에 의해 식(1)으로 정의된다.

$$a_g = \frac{V_U + V_L}{2L} \tag{1}$$



**Fig. 3** Flame behavior with condition at counterflow



**Fig. 2** Experimental set-up

본 연구에 사용된 실험 및 계산조건은 Table 1에 요약하여 나타내었다. 실험장치의 구성은 Fig. 2에 나타낸바와 같이 대향류 유동장을 모사하기 위해 상부 및 하부의 버너가 대칭되게 설치되며, 예혼합된 SNG-공기 혼합물은 버너의 상·하 내부 노즐에서 분사되고, 외부 교란의 영향을 차단하기 위해 상·하 외부 노즐에서는 N<sub>2</sub>를 분사하여 차단유동(curtain flow)을 형성하였다.

수치해석은 Fig. 1에 나타낸 대향류 유동장의 정체점에서 유효 상사성(similarity variable)을 갖고, 1차원으로 표현되는 상미분 지배 방정식은 Kee 등[3]에 의해 개발되었고 Lutz 등[4]에 의해 보완된 OPPDIF-code를 사용하였다. 상세 화학반응기구조는 SNG 예혼합 화염의 실험 및 계산 연구[2]에 사용된 연소 모델 중 C3 화학반응을 포함하는 USC-II 모델[5]을 사용하였다.

SNG 예혼합 화염의 후류상호작용에 따른 화염의 거동을 알아보기 위해 우선적으로 대칭되는 유동의 조건( $V_U = V_L$ )에서 혼합물의 연료 몰분도 또한 대칭( $\Omega_U = \Omega_L$ ) 되게 하여 연구를 진행하였다.

실험 및 수치해석은 동일한  $a_g$ 에서 희박(lean) 영역과 과농(rich)영역, 과농한 영역에서  $a_g$ 에 따른 화염의 거동을 취득하여 Fig. 3에 나타내었다. 동일한  $a_g = 50 \text{ s}^{-1}$ 에서 희박조건(a)의 화염이 과농한 조건(b)으로 바뀌면서 화염사이의 거리가 멀어지는 것을 볼 수 있다. 이러한 경향은 과농한 조건이 희박 조건에 비해 높은 층류연소 속도( $S_L$ )를 갖기 때문에 나타나는 현상으로 보인다[2]. 과농한 조건에서  $a_g$ 가 증가 하면서 화염사이의 거리가 좁아지는 것을 볼 수 있다. 이러한 현상들 수치해석을 통해 얻은 데이터를 통하여 다시 한 번 확인할 수 있다.

상호 작용하는 대칭의 희박 예혼합 화염의 조건에서  $a_g = 50 \text{ s}^{-1}$ 일 때 주요한 화염의 구조를 나타낸 Fig. 4를 보면 두 개의 뚜렷한 피크점을 갖는 OH, O, H 라디칼과 정체점(stagnation point)

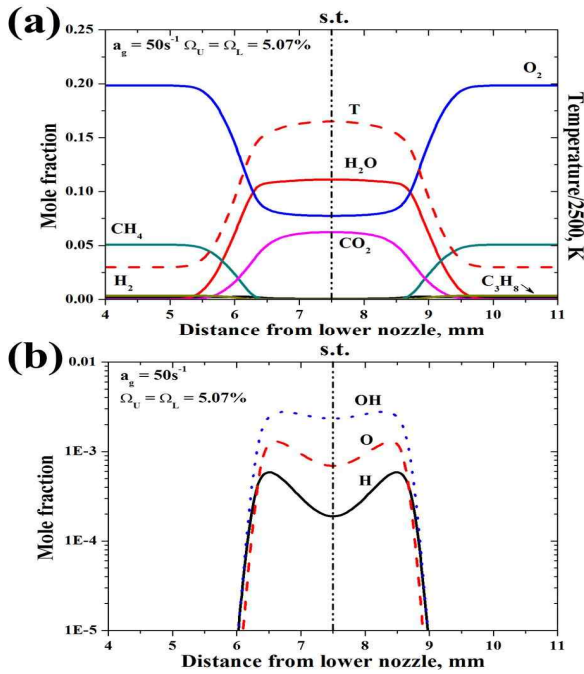


Fig. 4 Flame structure on the symmetric lean condition ( $\Omega_U = \Omega_L = 5.07\%$ ) at  $a_g = 50 \text{ s}^{-1}$

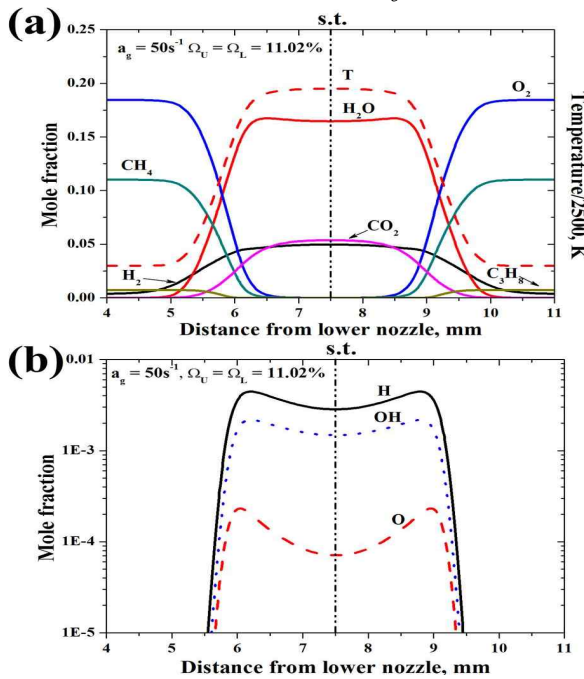


Fig. 5 Flame structure on the symmetric rich condition ( $\Omega_U = \Omega_L = 11.02\%$ ) at  $a_g = 50 \text{ s}^{-1}$

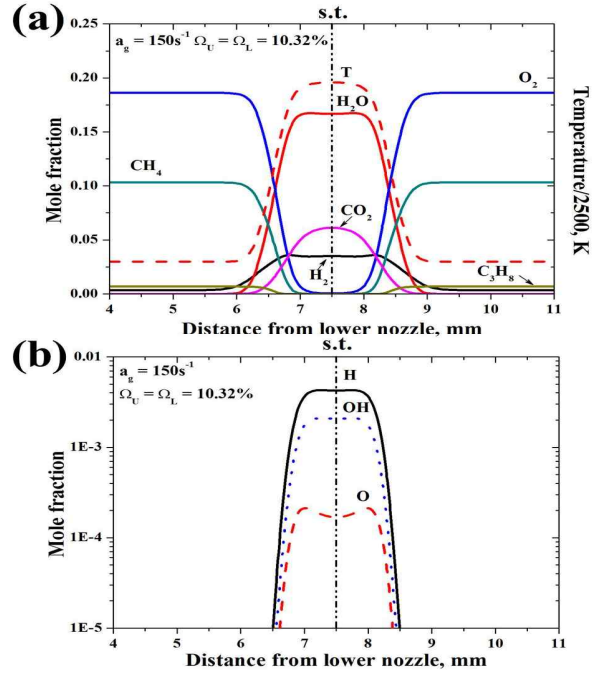


Fig. 6 Flame structure on the symmetric lean condition ( $\Omega_U = \Omega_L = 10.32\%$ ) at  $a_g = 150 \text{ s}^{-1}$

부근에서 최대점을 나타내는 온도,  $\text{H}_2\text{O}$ ,  $\text{CO}_2$  희박한 조건으로 화염대에서 완전 반응하지 못한  $\text{O}_2$ 의 농도 프로파일을 볼 수 있다.

과농한 화염의 구조를 나타낸 Fig. 5를 보면 희박 조건에 비해  $\text{OH}$ ,  $\text{O}$ ,  $\text{H}$  라디칼이 증가하고 노즐 쪽으로 이동하는 현상을 볼 수 있으며,  $\text{H}$ 가 희박영역과는 다르게  $\text{O}$ ,  $\text{OH}$ 를 역전하는 현상이 나타난다. 화염의 온도는 평지구간이 존재 하며,  $\text{CO}_2$ 는 정체점에서 최대점이 나타나고,  $\text{H}_2\text{O}$ 의 경우 두 개의 피크점이 나타나며 정체점 부근에서 소비되는 경향을 나타냈다.  $\text{H}_2$ 의 경우 화염대를 통과한 이후 지속적으로 증가 되는 경향을 나타냈다.

과농한 조건에서  $a_g$ 를  $150 \text{ s}^{-1}$ 까지 증가시킨 경우 Fig. 3-(c)의 이미지와 같이 화염사이의 간격이 좁아지며 그에 따른 화염의 구조는 Fig. 6에 나타내었다.  $\text{OH}$ ,  $\text{O}$ ,  $\text{H}$ 라디칼의 Fig. 5와 동일하게 두 번의 피크를 나타내지만,  $\text{H}$ ,  $\text{OH}$ 의 경우 그 구분이 불분명해지는 것을 볼 수 있다. 온도,  $\text{H}_2\text{O}$ ,  $\text{CO}_2$  모두 간격은 좁아지지만 Fig. 5와 동일한 경향을 나타내지만,  $\text{H}_2$ 의 경우 화염대가 존재하는 정체점 부근에서 소비되는 것을 볼 수 있다.

본 연구에서는 대칭조건에서의 후류상호작용에 대해 조사하였으며, 차후 지속된 연구를 통하여  $a_g$ 에 따른 SNG연료의 소멸한계(extinction limit) 및 루이스 수(Lewis number,  $Le$ )에 따른 과농(희박)-과농(희박) 연소반응에 관해 규명 하고자 한다.

## 후 기

본 연구는 2015년도 산업통상자원부의 재원으로 한국에너지기술평가원(KETEP)의 지원을 받아 수행된 연구입니다.(과제번호 : 2013-2010-101860)

## 참고 문헌

- [1] I. C. Choi, K. M Lee, "An Experimental Study on Combustion Instability in Model Gas Turbine Combustor using Simulated SNG Fuel", J. Korean Soc. Combust. Vol. 20(1), 2015, pp. 32-42.
- [2] D. C. Kim, K. S. Sim, K. M Lee, "A Comparison Study on Laminar Burning Velocity Measurement Method of SNG Fuel" KOSCO Symposium, 2015, 5, pp. 83-86.
- [3] Kee R.J., Miller J.A., Evans G.H., Dixon-Lewis G., "A computational model of the structure and extinction of strained, opposed flow, premixed methane-air flame". Proc Combust Inst, Vol. 22, 1988, pp. 1479-94.
- [4] Lutz A.E., Kee R.J., Grcar J.F., Rupley F.M., "A fortran program for computing opposed-flow diffusion flames", Sandia National Laboratories Report. SAND 96-8243; 1997.
- [5] Hai Wang, Xiaoqing You, Ameya V. Joshi, Scott G. Davis, Alexander Laskin, Fokion Egolfopoulos & Chung K. Law, USC Mech Version II. High-Temperature Combustion Reaction Model of H<sub>2</sub>/CO/C<sub>1</sub>-C<sub>4</sub> Compounds. [http://ignis.usc.edu/USC\\_Mech\\_II.htm](http://ignis.usc.edu/USC_Mech_II.htm), May 2007.